文章编号: 1001-3555(2022)05-0425-08

基于 DFT 密度泛函理论的聚酯热降解反应机理研究

张家龙1,关震宇1,朱有财2,刘 振2*

(1. 中国石油化工股份有限公司上海石油化工研究院,上海201208; 2. 华东理工大学化工学院,上海200237)

摘要:应用密度泛函理论(DFT),研究了钛系催化剂催化二苯甲酸乙二酯(EDB)解聚反应的 Lewis 酸催化热降解反应机理(M1 机理)和烷氧基配位催化热降解反应机理(M2 机理).结果表明,Lewis 酸催化热降解反应机理在钛系催化剂下的解聚反应能垒与无催化剂反应非常相似,未表现出明显促进作用;Ti(OEt),*催化剂在 M2 机理中明显降低了解聚反应能垒,可能是聚酯热降解反应的催化活性中心.经轨道相互作用分析发现,阳离子催化剂和反应物 EDB 之间存在较为明显的轨道相互作用.

关键词: DFT; 热降解; 反应机理; 轨道相互作用

中图分类号: 0643.32 文献标志码: A DOI: 10.16084/j.issn1001-3555.2022.05.002

聚酯(Polyester)是由多元酸与多元醇经酯化反应和缩聚反应生成的一类高分子聚合物的统称^[1]. 聚对苯二甲酸乙二醇酯(Polyethylene Terephthalate, 简称PET)是最为常见的一类聚酯高分子材料. 由于PET具有优良的物理、化学以及机械性能等特点,被广泛应用于纤维、容器、薄膜、瓶用、胶片、塑料等领域,目前已成为我国聚酯产品中产量最大、品种最多的一类合成材料^[2].

通过缩聚反应生成的PET长链,在反应釜中会发生热降解副反应,在后续的纺丝、挤压或成型过程中亦会发生热降解,进而引起PET聚酯分子量降低及PET聚酯变色^[3].研究表明,PET链的热降解

主要是由分子内酯键发生 β 链裂解反应导致,该反应会生成具有乙烯基酯和端羧基的热降解产物,其反应机理如图 1 所示 [4]. Buxbaum 等 [5] 使用模型化合物详细研究了PET 热降解反应机理,结果表明PET 通过 β 链裂解反应发生热降解,并没有证据表明热降解过程中存在自由基. Tomita 等 [6] 将二苯甲酸乙二酯 (EDB) 作为PET 的模型化合物,研究发现EDB的热降解速率遵循一阶动力学,其活化能 Ea 为 223.4 kJ/mol. Hergenrother 等 [7] 利用红外光谱法测得的PET 热降解活化能 E_a 为 197.9 kJ/mol.

催化剂对PET热降解 β 消除反应存在一定的作用. PET工业生产中最常用的缩聚催化剂是锑系

transition state (TS)

图 1 PET链内酯键的 β 消除反应机理示意图

Fig.1 Reaction scheme of β -elimination reaction at ester linkage of PET

收稿日期: 2022-07-15; 修回日期: 2022-08-20.

基金项目: 中国石化股份公司科研开发项目(20/GFS21-L3-006)(Sinopec Scientific Research and Development Project (20/GFS21-L3-006)).

作者简介: 张家龙(1989-), 男, 博士, 工程师, 从事环保型聚酯催化剂及特种聚酯材料开发研究(Zhang Jia-long (1989-), male, PhD, Engineer, research in the development of environmentally friendly catalysts for polyester materials).

^{*} 通信联系人, E-mail: liuzhen@ecust.edu.cn.

催化剂. 锑系催化剂主要品种有氧化锑、醋酸锑和乙二醇锑. 虽然锑催化剂在催化活性、颜色和成本方面有很好的平衡, 但是锑系催化剂对人体有损害, 并且在后道工序中污染环境^[8-11]. 钛金属是一种资源丰富, 无毒的环保型金属, 并且以乙二醇钛为代表的钛系聚酯催化剂具有较高的催化活性, 但其得到的聚酯产品色相不佳, 略带黄色^[3]. 有研究报道认为钛系催化反应体系中会发生以聚酯热降解为主的副反应, 但关于钛系催化剂聚酯产品黄变的机制尚不明确^[10-11].

近年来, DFT方法被用来研究聚酯缩聚及热降解的反应机理^[12-13]. 在现有基础上, 我们采用 DFT 方法对钛系催化剂在聚酯热降解反应中的作用进行理论研究, 通过解析参与反应的催化剂分子结构和反应能量, 旨在阐明催化剂作用机制及聚酯热降解的反应机理, 为工业生产中通过改进钛系催化剂体系来抑制聚酯热降解副反应的发生提供理论指导.

1 计算方法与模型

计算工作如结构优化、频率计算以及内禀反应 坐标IRC(Intrinsic Reaction Coordinate) 验证都在高 斯(GAUSSIAN)程序包中完成. 我们不设置任何对 称性限制,采用非局域泛函B3LYP,对所有原子使 用def2-SVP基组进行结构优化. 所有的过渡态结构 都经过内禀反应坐标IRC进行验证,以确认过渡态 连接相关反应物和产物. 在几何优化中, 溶剂化效 应采用了SMD溶剂模型,色散校正则采用Grimme 等开发的DFT-D3(zero-damping)方法. 根据实验反 应条件,基于B3LYP-GD3/def2-SVP(SMD)理论水平 下优化的结构, 在0.1 MPa、250 ℃条件下进行热力 学分析,并得到相应的Gibbs自由能校正项.最后, 在B3LYP/def2-TZVP理论水平下计算相应的高精度 电子能. 因此, 文中报道的所有能量均是经过高精 度电子能校正和Gibbs自由能校正后的能量. 在分 子模型方面,采用EDB作为PET的模型分子.分子 静电势(MESP)、最高占据分子轨道(HOMO)和最低 未占据分子轨道(LUMO)均在Multiwfn软件包中计 算,并使用VMD程序绘图.

2 结果与讨论

2.1 催化剂分子模型

考察了钛乙氧基配合物Ti(OEt)₄及其阳离子Ti-(OEt)₅[†]两种催化剂对EDB热降解反应的影响,其几

何优化后的分子结构如图 2 所示. 钛乙氧基配合物 $Ti(OEt)_4$ 为四配位的八面体结构, 而具有阳离子中心的 $Ti(OEt)_3$ "催化剂则是三配位的四面体构型. 两种催化剂的C-O与C-C键长相近, 但Ti-O的键长分别为 0.183 和 0.177 nm.

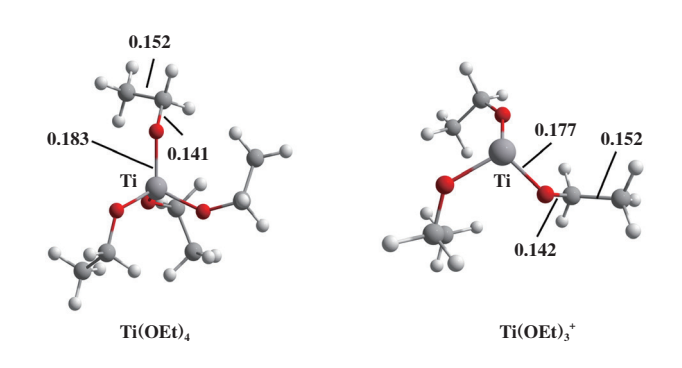


图 2 催化剂模型 Fig.2 Catalyst models

2.2 无催化剂下的聚酯热降解反应

在无催化剂条件下, EDB 发生 β 裂解的反应路 径如图 1 所示. 其反应物、过渡态及产物的几何结构如图 3 所示.

在该反应中, 酯基的羰基氧原子作为亲核试剂 攻击乙二醇单元的 β 氢原子, 从而形成六中心的环状过渡态. 随后 β 氢原子转移至酯基的羰基氧原子, 链内的C-O键断裂, 形成产物苯甲酸和苯甲酸乙烯酯. 过渡态TS1的C2-O1的键长由反应物的0.144延长至0.207 nm, H1-C1的键长由0.110延长至0.130 nm. 在无催化剂作用下, EDB分子内 β 消除反应能垒为188.3 kJ/mol, 该数值与Hergenrother等测得的PET热降解活化能(197.9 kJ/mol) 相近^[7]. 同时, 产物比反应物能量高11.7 kJ/mol, 表明在无催化条件下生成苯甲酸和苯甲酸乙烯酯在热力学和动力学上均不利于热降解反应的自发进行.

为了理解无催化剂条件下 EDB难以发生 β 裂解的内在机制,我们对 EDB分子进行了静电势和前线轨道分析. EDB分子模型的优化结构,分子静电势和 HOMO、LUMO 以及 HOMO-LUMO 的能隙如图 4所示.

优化后 EDB分子结构中的 3 个关键键长参数 C1-C2、C1-H1和 C2-O1分别为 0.151、0.110和 0.144 nm(图 4(a)). 通过对 EDB分子结构静电势的分析,可以直观判断 EDB分子的反应位点(图 4(b)). 分子静电势(MESP)的正值以蓝色表示, 负值区域以红

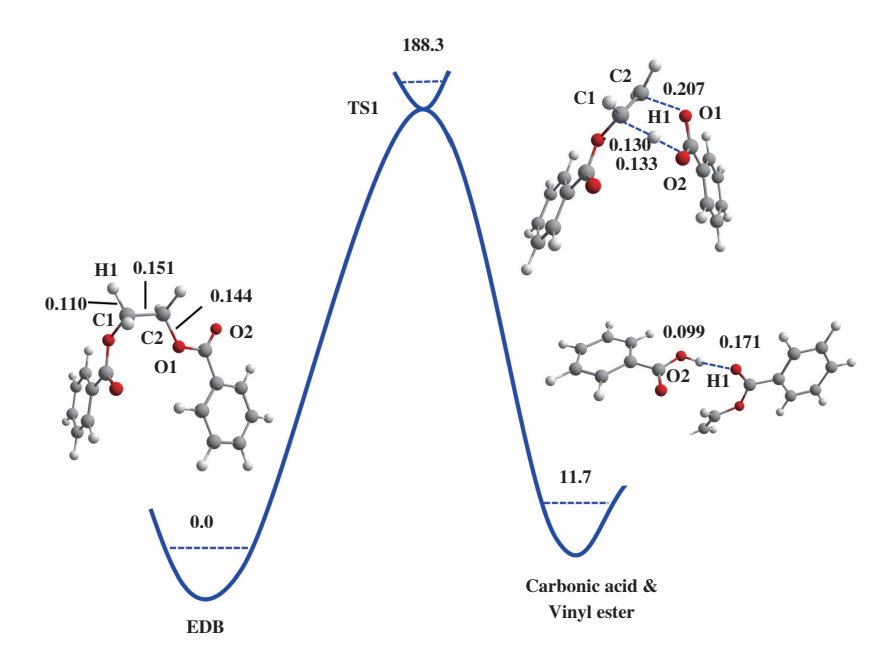


图3 无催化剂下 EDB β 消除反应路径中反应物、过渡态和产物的优化结构及相对能量(kJ/mol) 键距以 nm 为单位

Fig.3 Gibbs free energies (kJ/mol) and optimized geometries of the reactants (left), TS (top) and product (right) complexes in the β elimination reaction of EDB without catalyst Bond distances are in nanometers

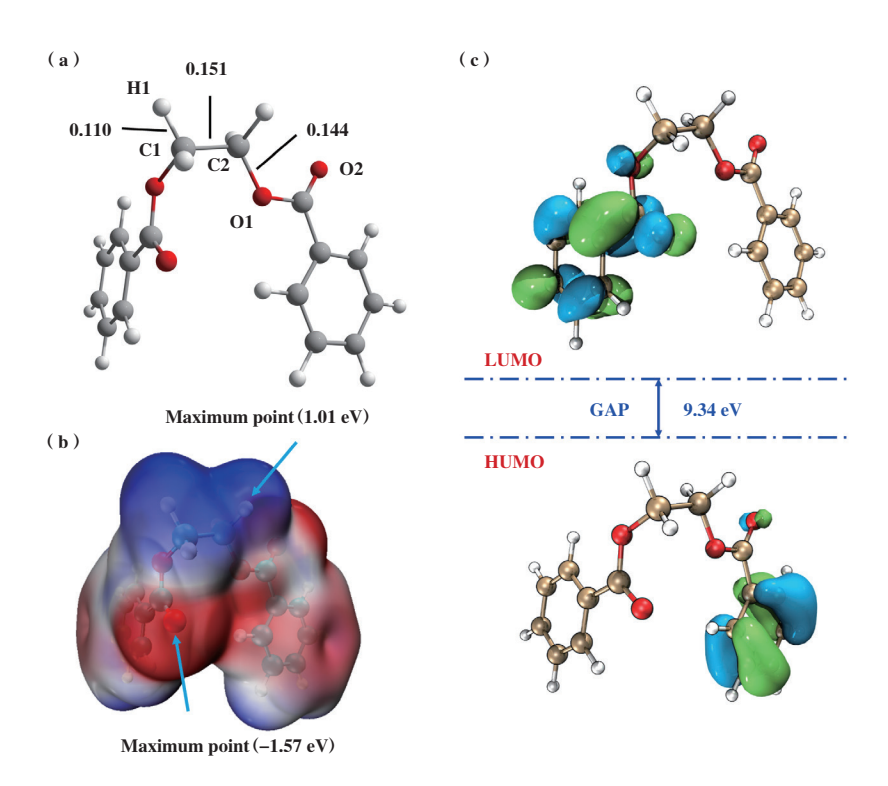


图 4 EDB模型
(a)结构优化;(b)分子静电势;(c)HOMO、LUMO以及HOMO-LUMO能隙
Fig.4 Model of EDB

(a) Optimized structure; (b) Electrostatic potential surface map; (c) HOMO, LUMO and HOMO-LUMO energy gap

色表示. 具有孤对电子的羰基氧为分子静电势的最小值(-1.57 eV), 而 β -H原子具有分子静电势的最大值(1.01 eV), 在降解反应中 β -H倾向于向羰基氧发生转移(β 裂解). 从图 4(c)可以看出, 反应物 EDB的 HOMO、LUMO分别位于聚酯两侧的苯环, 并且HOMO-LUMO能隙高达9.34 eV, 因此, EDB在无催

化剂的条件下较难进行分子内的酯键断裂反应.

2.3 Ti(OEt)4催化聚酯热降解反应机理

在Lewis 酸催化聚酯热降解反应机理(M1机理)中,产物的形成分两步进行:(i)反应物EDB的羰基氧配位至金属中心,如图5所示,EDB与Ti(OEt)₄催化的结合方式为弱配位,Ti-O键长为0.365 nm.(ii)

$$\begin{array}{c} O...H \\ O.CH_2 \\ O.CH_2 \\ O.CH_3O)_4Ti \end{array}$$

$$\begin{array}{c} TS2 \\ G = 184.1 \end{array}$$

$$\begin{array}{c} OH \\ OC_2H_5O)_4Ti \end{array}$$

图 5 Ti(OEt)4 催化EDB热降解的Lewis 酸机理

Fig.5 Mechanism of Lewis acid-catalyzed EDB thermal degradation reaction for Ti(OEt)₄

酯基的羰基氧原子作为亲核试剂进攻乙二醇单元的 β -H原子,从而形成六中心的环状过渡态,随后 β 氢原子转移到酯基的羰基氧原子,链内的 C-O 键断裂,形成产物苯甲酸和苯甲酸乙烯酯.与无催 化剂热降解过程不同的是,该产物比反应物能量低 38.1 kJ/mol,表明在 $Ti(OEt)_4$ 催化剂存在条件下生成 苯甲酸和苯甲酸乙烯酯在热力学上有利于反应正向 进行.但该过程需要克服的能垒为 184.1 kJ/mol,与 无催化剂时的 β 消除反应能垒(188.3 kJ/mol) 相近,

说明在Lewis 酸催化聚酯热降解反应机理中Ti(OEt)₄ 对热降解反应并未表现出显著的促进作用.

由于Ti(OEt)₄ 的 Lewis 酸催化机理无法有效地降低聚酯发生热降解的反应能垒,而实验报道钛系催化剂对PET的热降解反应具有较明显的促进作用^[10],因此我们进一步考察了另一种 β 消除反应机制,即Ti(OEt)₄催化剂中的烷氧基端基氧直接夺取聚酯中乙二醇链段的 β -H原子(M2机理),如图6所示.

在M2热降解机理中,催化剂的烷氧基配体在反

图 6 Ti(OEt)4 催化EDB 热降解烷氧基机理

Fig.6 Mechanism of alkoxy-catalyzed EDB thermal degradation reaction for Ti(OEt)₄

应中起到亲核试剂的作用.基于DFT计算结果,该产物比反应物能量低33.9 kJ/mol,表明烷氧基催化聚酯热降解在热力学上有利于反应正向进行.根据M2反应机理,烷氧基催化聚酯热降解需要克服187.4 kJ/mol的高能垒,与无催化剂时的β消除反应活化能(188.3 kJ/mol)相近,说明在M2机理中Ti(OEt)4对热降解反应同样未表现出显著的促进作用.

2.4 Ti(OEt), 催化聚酯热降解反应机理

计算结果表明,在以Ti(OEt)₄为模型催化剂情况下,Lewis酸催化(M1机理)和烷氧基催化(M2机

理)均无法有效促进聚酯的热降解反应.通过针对 Ti(OEt)₄的分子结构分析可知,由于钛中心和4个 乙氧基配体形成了稳定的八面体结构,导致反应物 EDB不能与钛中心发生有效的相互作用.由于聚酯 热降解的体系中存在一定的酸性物质,H⁺可以进攻与金属中心配位的一个乙氧基,从而形成三配位的 钛阳离子中心(图4).为了理解Ti(OEt)₃⁺阳离子中心对聚酯热降解反应的催化性能,我们同样考察了 Lewis 酸催化(M1 机理) 和烷氧基催化(M2 机理) 两种反应路径.如图7所示,反应物4中Ti-O键的键长

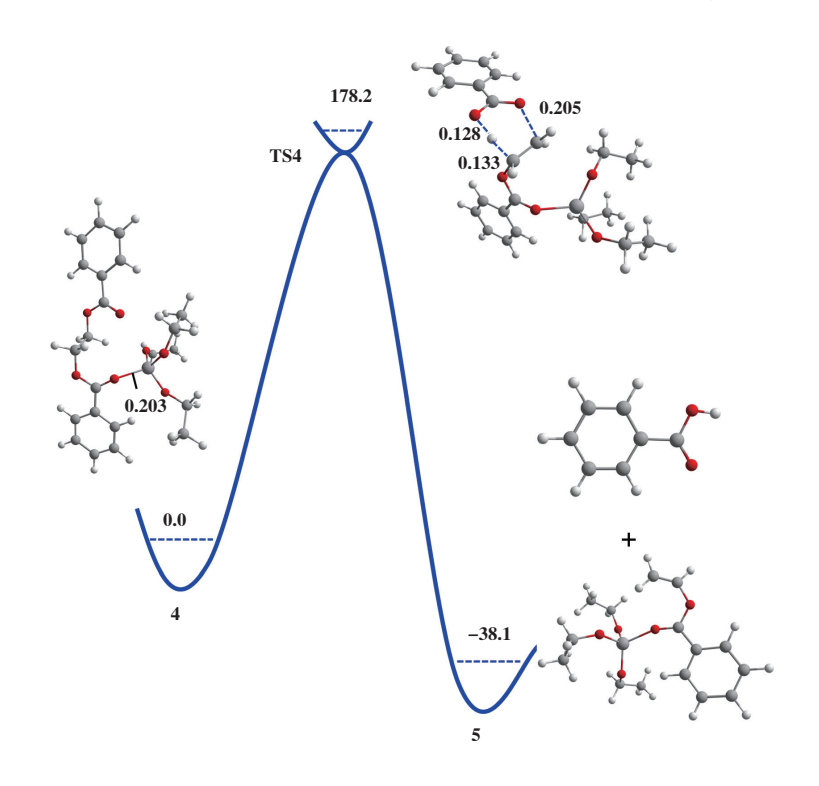


图7 Ti(OEt),*催化EDB热降解的Lewis酸机理

Fig.7 Mechanism of Lewis acid-catalyzed EDB thermal degradation reaction for Ti(OEt)₃⁺

为0.203 nm. 根据M1机理进行DFT计算的结果表明,产物比反应物能量低38.1 kJ/mol, 且反应需要克服178.2 kJ/mol的能垒完成酯键的断裂. 与无催化剂时的 β 消除反应能垒(188.3 kJ/mol)相比略有降低,说明在M1机理中Ti(OEt) $_3$ +阳离子中心对聚酯的热降解反应存在一定的促进作用.

如图 8 所示,根据 M2 热降解机理计算 $Ti(OEt)_3^+$ 催化 EDB 发生分子内 β 消除反应的能垒为 156.1 kJ/mol. 与无催化剂时发生 β 消除反应的能垒(188.3 kJ/mol)相比有明显下降,说明在 M2 机理中 $Ti(OEt)_3^+$ 阳离子中心对聚酯的热降解反应具有明显的促进作用. 在反应物中,H1-O1 的键长为 0.233 nm,C1-

H1的键长为0.109 nm. 随着反应的进行, 反应物中的C1-H1键发生断裂, H1原子逐步转移至O1原子, H1-O1键长为0.147 nm时体系能量达到最高点,即过渡态结构(图8(b)). 随后, C1-H1键完全断裂,体系能量逐渐降低并形成相应产物.

2.5 反应机理路径对比分析

如表1所示,在M1机理和M2机理下,Ti(OEt)₄催化剂对聚酯热降解反应未表现出明显的促进作用.这是由于Ti金属中心配位饱和,导致反应物EDB不能有效地与Ti中心发生相互作用.而Ti(OEt)₃+催化剂在M2机理下可以有效促进聚酯进行热降解反应,反应能全从无催化剂条件下的188.3下降至

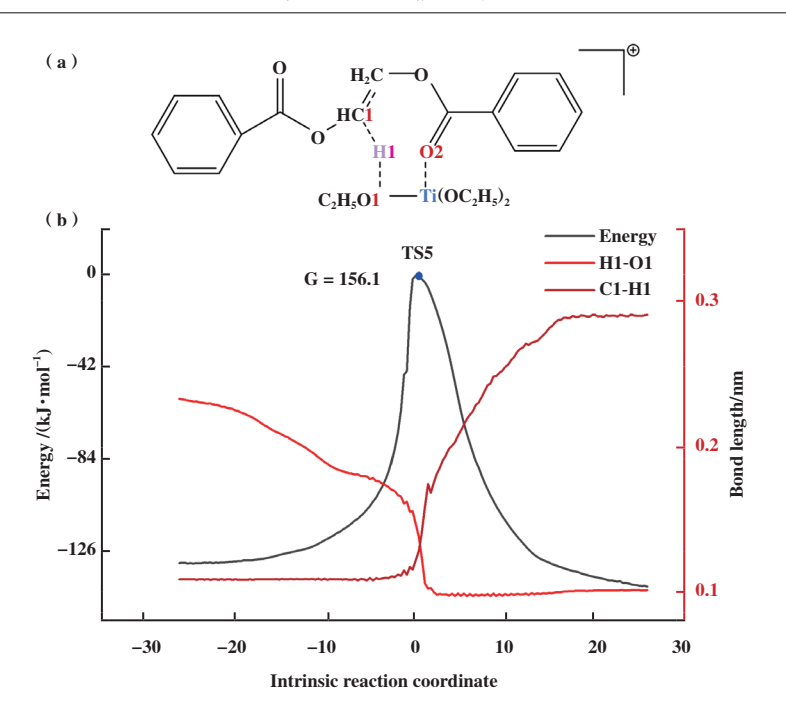


图 8 (a)Ti(OEt); 催化EDB热降解烷氧基机理反应过渡态; (b)键长沿内禀反应坐标的变化

Fig.8 (a) Transition state of alkoxy-catalyzed EDB thermal degradation reaction for Ti(OEt)₃+; (b) Bond lengths of key atoms along the intrinsic reaction coordinate

表 1 不同钛系催化剂下 β 消除反应及其对应的吉布斯自由能

Table 1 β -Elimination reactions of different titanium catalysts and corresponding Gibbs free energies (kJ/mol)

·			-	-
	Ti(OEt) ₄		Ti(OEt) ₃ ⁺	
	M1 mechanism	M2 mechanism	M1 mechanism	M2 mechanism
Reactant	0.0	0.0	0.0	0.0
Transition state	184.1	187.4	178.2	156.1
Product	-38.1	-33.9	-38.1	-47.3
$TOF/(h^{-1})$	1.6×10^{-2}	7.6×10^{-3}	6.3×10^{-2}	10.0

156.1 kJ/mol.

催化反应的转化频率(TOF) 是催化剂效率的直观表达. Sebastian等^[14]提出, 一个催化反应路径的TOF值通常可由该反应路径的自由能变化进行计算. 表达式如下:

$$TOF = \frac{k_{\rm b}T}{h} \cdot \frac{e^{\Delta G_{\rm s}^0/RT} - 1}{\sum_{a,b=1}^{N} e^{(T_a - I_b - \delta \Delta G_{a,b}^-)/RT}}$$

$$\delta \Delta G'_{a,b} = \begin{cases} \Delta G^{0}_{r} & \text{if } a \ge b \\ 0 & \text{if } a \le b \end{cases}$$

式中, T_a 和 I_b 分别对应反应路径中过渡态和中间体的 Gibbs 自由能; ΔG_r^0 是反应路径的自由能变,取决于反应物和产物的能量差.

我们根据计算得到的各反应路径能量计算了相应的TOF值,结果列入表1.显然, $Ti(OEt)_3$ [†]在M2机理下具有最高的TOF值,为10.0 h⁻¹.该结果说明Ti- $(OEt)_3$ [†]催化剂可能是聚酯热降解反应的催化活性中心,并且热降解反应遵从M2机理.

为了理解M2机理路径中,Ti(OEt)₄催化剂和阳离子Ti(OEt)₃⁺催化剂反应特性的差异,我们对过渡态TS3和TS5进行了主相互作用轨道(PIO)分析^[15],结果如图9所示.PIO分析将两个片段之间的总相互作用分解为成对的轨道相互作用,并通过PIO的键指数PBI来量化每个轨道相互作用的大小.Ti(OEt)₄催化剂与反应物EDB有4对主相互作用轨道,其中第2对与第3对为金属中心的d轨道作为电子供体向EDB进行电荷输送,但第4对的相互作用较弱.

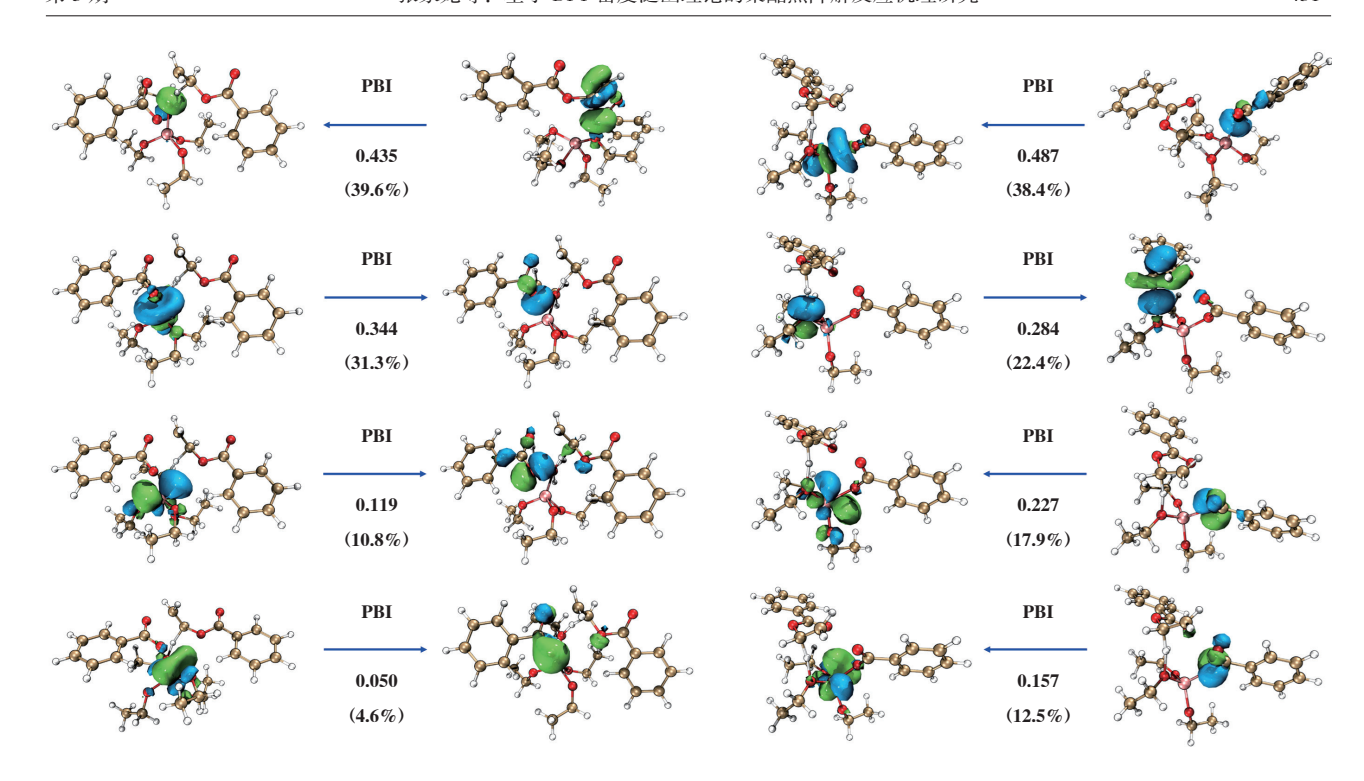


图9 过渡态TS3和TS5的主相互作用轨道分析

Fig.9 Principal interacting orbital (PIO) analysis of TS3 and TS5

在该过渡态TS3中, $Ti(OEt)_4$ 催化剂和EDB之间的总PBI值为1.10. 阳离子 $Ti(OEt)_3$ ⁺与反应物EDB同样具有4对主相互作用轨道,其中3对金属中心的d轨道皆为强作用相互轨道. 由于具备更强的轨道相互作用,催化剂和EDB之间的总PBI值为1.27, 高于过渡态TS3. 因此,过渡态TS5的化学稳定性更高,说明在M2热降解机理下,阳离子 $Ti(OEt)_3$ ⁺催化剂能更有效地催化EDB发生分子内 β 消除反应.

3 结论

我们主要考察了两种钛系催化剂催化聚酯热降解的反应机理,其主要结论如下:(1)Lewis 酸催化热降解反应机理在钛系催化剂下的解聚反应能垒与无催化剂反应相近,未表现出明显促进作用;(2)阳离子Ti(OEt)₃+催化剂可能是聚酯热降解反应的催化活性中心,并且热降解反应遵从M2机理;(3)Ti(OEt)₃+和反应物 EDB 之间具有更高的 PBI 值,过渡态 TS5的稳定性更高,有利于EDB发生分子内β消除反应.

钛系聚酯催化剂在工业生产中通常需要加入含磷化合物作为稳定剂,用来改善钛系催化剂聚酯产品的品质.根据我们的研究结果,含磷稳定剂可能起到稳定Ti(OEt),*阳离子中心的作用,抑制了钛系

催化剂催化聚酯过程中催化热降解副反应的发生. 我们的研究结果对开发新型钛系催化剂具有一定的 理论指导意义.

参考文献:

- [1] Zhao Hai-peng(赵海鹏), Zhang Ye(张 烨). Classification and research progress of polyester polyol(聚 酯 多元 醇 的分类及研究进展) [J]. Shanghai Plast(上海塑料), 2017, **2017**(4): 15–21.
- [2] Dong Li(董 莉). The research, modification and application of PET(PET的研究、改性及应用进展) [J]. *Shandong Chem Ind*(山东化工), 2021, **50**(8): 71–72.
- [3] Zheng Xiao-xu(郑晓旭), Liang Jian-rong(梁建荣), Wang Zi-xiang(汪子翔), et al. Research progress of environmental friendly titanium catalyst for PET(环保型 PET 用钛系催化剂的研究进展) [J]. Chin Synth Fiber Ind(合成纤维工业), 2020, 43(6): 59–63.
- [4] Shigemoto I, Kawakami T, Taiko H, et al. A quantum chemical study on the thermal degradation reaction of polyesters[J]. Polym Degrad Stab, 2012, 97(6): 941– 947.
- [5] Buxbaum L H. Degradation of poly(ethylene terephthalate) [J]. Angew Chem, Int Ed, 1968, 7(3): 182-90.

- [6] Tomita K. Studies on the formation of poly(ethylene terephthalate). 9. Thermal decomposition of ethylene dibenzoate as a model compound of poly(ethylene terephthalate) [J]. Polymer, 1977, 18(3): 295–297.
- [7] Hergenrother W L. Influence of copolymeric poly (diethylene glycol) terephthalate on the thermal stability of poly(ethylene terephthalate) [J]. J Polym Sci, Polym Chem Ed, 1974, 12(4): 875–883.
- [8] Ren Li-ping(任丽萍), Zhou Wen-le(周文乐), Xie Zai-ku (谢在库). Research progress in titanium-containing catalyst for PET(钛系聚酯催化剂研究技术进展)[J]. *Chin Synth Fiber Ind*(合成纤维工业), 2005, **28**(6): 48–51.
- [9] Yuan Na-juan(苑娜娟). The industrial development of titanium system catalyst for polyester(钛系聚酯催化剂的工业应用进展) [J]. Guangzhou Chem Ind (广州化工), 2015, **43**(13): 30–31.
- [10] Li Ding-song(李顶松), Cao Rui(曹 睿), Zhao Ling(赵 玲). Research of the catalysts of polyester reaction(聚酯反应催化剂的研究)[J]. *Polyester Ind*(聚酯工业), 2020, **33**(2): 32–34.
- [11] Zhuang Ying(庄颖), Du Wei-chen(杜玮辰), Wang Wen

- (王 文), et al. Progress of study on titanium catalyst for polyester synthesis(钛系聚酯催化剂的研究进展) [J]. Chem React Eng Technol(化学反应工程与工艺), 2021, 37(5): 467–473.
- [12] Huang J, Meng H, Luo X, et al. Insights into the thermal degradation mechanisms of polyethylene terephthalate dimer using DFT method[J]. Chemosphere, 2022, 291: 133112.
- [13] Shen J, Gao X, Liu Z, et al. Reaction mechanism study on transesterification in synthesis of thermotropic liquid crystalline polymer catalyzed by zinc(II) carboxylate: A combination of DFT and kinetics analyses[J]. Chem Eng J, 2022, 446: 136848.
- [14] Sebastian K. Steady state kinetics of any catalytic network: Graph theory, the energy span model, the analogy between catalysis and electrical circuits, and the meaning of "mechanism" [J]. ACS Catal, 2015, 5(9): 5242-5255.
- [15] Zhang J X, Sheong F K, Lin Z. Principal interacting orbital: A chemically intuitive method for deciphering bonding interaction [J]. Wiley Interdiscip Rev: Comput Mol Sci, 2020, 10(6): e1469.

DFT Study on the Mechanism of Thermal Degradation of Polyester

ZHANG Jia-long¹, GUAN Zhen-yu¹, ZHU You-cai², LIU Zhen^{2*}

(1. SINOPEC Shanghai Research Institute of Petrochemical Technology, Shanghai 201208, China;

2. School of Chemical Engineering, East China University of Science and Technology, Shanghai 200237, China)

Abstract: The mechanism of thermal degradation of polyester by Ti-based catalyst was investigated by density functional theory (DFT) calculations. The Lewis acid catalyzed thermal degradation mechanism (M1 mechanism) and the alkoxy ligand assisted thermal degradation mechanism (M2 mechanism) were investigated for the depolymerization of ethylene dibenzoate (EDB) catalyzed by Ti(OEt)₄ and the cationic Ti(OEt)₃⁺, respectively. The calculations showed that the activation energy barriers for the Lewis acid catalyzed thermal degradation by both catalysts is similar to the barrier in the absence of the catalyst. The cationic Ti(OEt)₃⁺ significantly reduced the activation barrier for thermal degradation of EDB (M2 mechanism), which is believed to be the active center for the depolymerization of EDB. The principal interacting orbital (PIO) analysis revealed more orbital interactions between the cationic catalyst and the EDB polyester.

Key words: DFT; thermal degradation; reaction mechanism; orbital interaction